

دانشگاه تربیت مدرس
دانشکده فنی و مهندسی
بخش مهندسی شیمی

پایان نامه کارشناسی ارشد

تعیین ضریب انتقال جرم متان در آب در حضور سیکلودکسترین - نانولوله‌ی کربنی

دانشجو

ابوالفضل محمدی

استاد راهنما:

دکتر مهرداد منطقیان

استاد مشاور:

محسن ظهیر میردامادی

الله
بِسْمِ اللّٰهِ الرَّحْمٰنِ الرَّحِيْمِ

تھر پڑھ

پدر و مادر عزیز و مهربانہ

پا ټشكىر لار

خداوند خوب و مهربان که در تمام مراحل زندگی کمک کرده
جناب آقای دکتر مهرداد منطقیان، استاد راهنمای دلسوزم
جناب آقای مهندس محسن میردامادی، استاد مشاوره
جناب آقای مسعود متولیان، استاد مشاور صنعتی ام
سرگار خانم‌ها مucchomه میرزاوی و همیده التجایی و جناب آقای علی امجدیان به
فاطر کمک‌های ارزنده‌شان
دوستان خوبم در آزمایشگاه جداسازی آقایان میثم عبدالکریمی مه‌آبادی، علیرضا
جهانگیری، (ضا شیدپور)، مهدی همدام مؤمن و علیرضا عظیمی
بچه‌های آزمایشگاه بازیافت انرژی و آزمایشگاه بیوتکنولوژی
هم اطاقی‌های عزیزه به ویژه جناب آقای علی قدیمی
سرگار خانم تیموری مسئول آزمایشگاه بیوتکنولوژی

و پا ټشكىر ويئر لار

فانواده‌ی عزیزه

همچنین از شرکت ملی گاز ایران و ستد ویژه توسعه فناوری نانو جهت حمایت مالی
از این پایان نامه کمال تشكىر و قدردانی به عمل می‌آید.

چکیده

در این تحقیق اثر بتاسیکلودکسترین (*CD*)، نانولوله‌ی کربنی چند جداره (*NT*) و *SDS* روی ضریب انتقال جرم، مقدار و سرعت اتحلال متان در آب بررسی شده است. آزمایش‌ها در دو فشار ۳ و ۵ بار، هشت دمای ۱، ۳، ۵، ۱۰، ۱۵، ۲۰، ۲۵ و ۳۰ درجه سانتیگراد و نه محلول با غلظت‌های مختلف از *CD*، *SDS* و *NT* انجام شد. حجم هر محلول ۳۰۰ سانتیمتر مکعب در نظر گرفته شد. برای هر محلول منحنی‌های کاهش فشار ناشی از اتحلال متان، در فشارهای اولیه و دماهای مورد نظر رسم شد و ضرایب انتقال جرم آن‌ها محاسبه و بر حسب فشار رسم شد و در نهایت نمودارهای *P-T-t* و *P-T-P* برای هر محلول در دو فشار اولیه‌ی ۳ و ۵ بار، توسط نرم افزار *TableCurve 3D*، رسم و با یک رابطه ریاضی برآش شد.

استفاده از *NT* و *SDS* و ترکیب آن‌ها در تمامی دماها سرعت اتحلال متان را افزایش داد. استفاده از ۵/۰ درصد سیکلودکسترین مقدار اتحلال متان را در دمای ۱۰°C و فشار اولیه‌ی ۳ بار ۱۴/۶۳ درصد افزایش داد ولی تأثیر آن در افزایش مقدار اتحلال با افزایش دما، کاهش یافت. استفاده از این محلول ضریب انتقال جرم را - به خصوص در دماهای پایین - به خوبی افزایش داد. افزایش غلظت سیکلودکسترین از ۵/۰ به ۱ درصد، تأثیر قابل ملاحظه‌ای بر مقدار اتحلال و ضریب انتقال جرم نداشت. استفاده از ۱/۰ درصد *SDS* در فشار ۳ بار مقدار اتحلال را کاهش داد ولی در فشار ۵ بار اندکی افزایش اتحلال مشاهده شد. این محلول تقریباً در تمام دماها ضریب انتقال جرم را افزایش داد ولی این افزایش در مقایسه با محلول‌های دیگر، خیلی کمتر بود. استفاده از *NT* به همراه *SDS* در فشار ۳ بار، تأثیر چندانی در افزایش اتحلال متان نداشت ولی در فشار ۵ بار و دماهای پایین تا ۵/۲۶ درصد مقدار اتحلال را افزایش داد. این محلول ضریب انتقال جرم را در دماهای پایین بهمیزان قابل توجهی افزایش داد. استفاده‌ی همزمان از *CD*، *SDS* و *NT* بیشترین تأثیر را در افزایش ضریب انتقال جرم، مقدار و سرعت اتحلال داشت. بطوریکه محلولی با مشخصات $\% = 1/1$ ، $\% = 1$ و $\% = 0/1$ *SDS*، *CD* و *NT*، بیشترین افزایش را در ضریب انتقال جرم، مقدار و سرعت اتحلال، در مقایسه با آب خالص ایجاد کرد. این محلول مقدار اتحلال را در دمای ۱۰°C و فشار اولیه‌ی ۳ بار ۱۴/۶۳ درصد افزایش داد. **واژه‌های کلیدی:** مقدار اتحلال، سرعت اتحلال، بتاسیکلودکسترین، نانولوله‌ی کربنی چند جداره، *SDS*، ضریب انتقال جرم، جذب، متان

فهرست مطالب

| | |
|---------------------|---------------------------------|
| عنوان | صفحة |
| فهرست مطالب | أ |
| فهرست شکل‌ها | ج |
| فهرست جدول‌ها | ز |
| فهرست نمادها | ى |
| فصل ١..... | ١ مقدمه |
| ٢..... | ٢ ١-١ - مقدمه |
| ٣..... | ٣ ٢-١ - ماهیت گاز طبیعی |
| ٤..... | ٤ ٣-١ - متان |
| ٧..... | ٧ ٤-١ - نانو لوله‌ی کربنی |
| ٨..... | ٨ ٥-١ - سیکلود کسترین |
| ٩..... | ٩ ملحوظه |
| ١١..... | ١١ ملحوظه |
| ١٢..... | ١٢ ملحوظه |
| ١٣..... | ١٣ ملحوظه |
| ١٤..... | ١٤ ملحوظه |
| ١٥..... | ١٥ ملحوظه |
| ١٨..... | ١٨ ملحوظه |
| ١٩..... | ١٩ ملحوظه |
| ٢٤..... | ٢٤ ملحوظه |
| ٢٧..... | ٢٧ ملحوظه |
| ٢٨..... | ٢٨ ملحوظه |

| | |
|--|--|
| ۱-۴-۲-۱- اثر مواد فعال سطحی بر سرعت، پایداری و میزان ذخیره‌سازی هیدرات متان ۳۱ | |
| ۱-۴-۲-۲- بررسی اقتصادی روش‌های مختلف صدور گاز طبیعی ۳۳ | |
| ۱-۴-۲-۳- انتقال گاز طبیعی به صورت <i>LNG</i> ۳۴ | |
| ۱-۴-۲-۴- انتقال گاز طبیعی به صورت <i>NGH</i> ۳۷ | |
| ۱-۴-۲-۵- مقایسه بین <i>NGH</i> و <i>LNG</i> ۳۸ | |
| فصل ۳ آزمایش‌ها ۴۰ | |
| ۱-۳-۱- دستگاه ۴۱ | |
| ۱-۳-۲- مواد مورد استفاده ۴۴ | |
| ۱-۳-۳- نحوه انجام آزمایش‌ها ۴۵ | |
| ۱-۳-۴-۱- مدل کردن سطح فصل مشترک بین آب و متان در سل ۴۶ | |
| ۱-۳-۴-۲- تعیین سطح تماس آب و گاز در حالت اول ۴۸ | |
| ۱-۳-۴-۳- تعیین سطح تماس آب و گاز در حالت دوم ۵۱ | |
| ۱-۳-۴-۴- تعیین سطح تماس آب و گاز در حالت سوم ۵۴ | |
| ۱-۴-۱- ارائه‌ی یک رابطه‌ی کلی برای حالت‌های اول، دوم و سوم ۵۵ | |
| ۱-۴-۲- نحوه محاسبه ضریب انتقال جرم متان در هر محلول ۵۶ | |
| ۱-۴-۳- نحوه محاسبه حلایت متان در محلول‌ها ۵۷ | |
| ۱-۴-۴- ۱- محاسبه ضریب تراکم‌پذیری (<i>Z</i>) با استفاده از معادله‌ی حالت <i>Peng-Robinson</i> ۵۷ | |
| فصل ۴ نتایج و بحث ۵۹ | |
| ۱-۴-۱- مقایسه کاهش فشار متان بر اثر انحلال در محلول‌ها ۶۰ | |
| ۱-۴-۲- محاسبه حلایت متان در محلول‌ها ۸۰ | |
| ۱-۴-۳- مقایسه ضریب انتقال جرم مタン در محلول‌ها ۸۳ | |
| ۱-۴-۴- اثر دما بر میزان انحلال مタン در هر یک از محلول‌ها ۹۴ | |
| ۱-۴-۵- اثر دما بر ضریب انتقال جرم در هر یک از محلول‌ها ۹۸ | |
| فصل ۵ نتیجه‌گیری و پیشنهادها ۱۰۴ | |
| ۱-۵-۱- نتیجه‌گیری ۱۰۴ | |
| ۱-۵-۲- پیشنهادها ۱۰۵ | |
| ۱-۵-۳- مراجع ۱۰۷ | |
| ۱-۵-۴- پیوست الف: تعریف روابط ریاضی استفاده شده در رویه‌های فصل چهارم ۱۰۷ | |

فهرست شکل‌ها

| صفحه | عنوان |
|------|---|
| ۵ | شکل ۱-۱: پیوندهای اتمی در (a) الماس ، (b) گرافیت [۶]. |
| ۵ | شکل ۱-۲: ساختار اتم‌های کربن در الماس [۶]. |
| ۵ | شکل ۱-۳: ساختار اتم‌های کربن در گرافیت [۶]. |
| ۶ | شکل ۱-۴: ساختار مولکولی فولرین [۸]. |
| ۶ | شکل ۱-۵: نانولوله کربنی چند دیواره [۱۰]. |
| ۶ | شکل ۱-۶: نانولوله کربنی تک دیواره [۱۰]. |
| ۱۰ | شکل ۱-۷: صفحه گرافیت با بردار رول شدن r [۱۴]. |
| ۱۰ | شکل ۲-۱: نانولوله‌های (a) آرمچیر و (b) زیگزاگ و (c) کایرال [۱۵]. |
| ۱۱ | شکل ۲-۲: خم شدن نانولوله در اثر اعمال فشار [۱۴]. |
| ۱۶ | شکل ۲-۳: نمایی از α -سیکلودکسترین، β -سیکلودکسترین، و γ -سیکلودکسترین [۱۳]. |
| ۱۶ | شکل ۲-۴: ساختمان α -سیکلودکسترین [۱۱]. |
| ۱۷ | شکل ۲-۵: نمودار شماتیکی دو واحد گلوکوپیرانوز از یک ملکول سیکلودکسترین [۱۲]. |
| ۱۷ | شکل ۲-۶: از چپ به راست، مدل ملکولی <i>Corey-Pauling-Colton</i> برای α ، β و γ -سیکلودکسترین ها [۱۲]. |
| ۱۸ | شکل ۲-۷: تشکیل دکسترین های حلقوی و غیر حلقوی از نشاسته [۲۲]. |
| ۲۳ | شکل ۲-۸: ساختار α -سیکلودکسترین هگزا هیدرات. فقط دو ملکول آب داخلی نشان داده شده است. شماره ها نشان دهنده ای واحدهای گلوکوز می باشند. علامت * بیان گر مرکز ملکول سیکلودکسترین می باشد [۱۲]. |
| ۲۴ | شکل ۲-۹: انواع چیدمان سیکلودکسترین ها در شبکه کربستالی [۲۲]. |
| ۲۵ | شکل ۲-۱۰: شیوه های مختلف ورود نیتروفنول به عنوان میهمان در فضای خالی پرمتیلیت α -سیکلودکسترین (الف): در حالت جامد. (ب): در حالت محلول [۱۳]. |
| ۲۶ | شکل ۲-۱۱: نمونه ای از کمپلکس $2:2$ [۱۳]. |
| ۳۴ | شکل ۲-۱۲: روش های مختلف انتقال گاز طبیعی [۲]. |
| ۳۷ | شکل ۲-۱۳: فرآیند پیشنهادی برای تولید <i>NGH</i> [۱]. |
| ۳۹ | شکل ۲-۱۴: هزینه ای کل محصول گاز طبیعی صادر شده از بندر عسلویه واقع در مناطق جنوبی ایران به بعضی از بازارهای گازی دنیا را از دو طریق <i>LNG</i> و <i>NGH</i> . ستون سفید: خوراک دارای قیمت $\$/MJ^{-1}$ و ستون تیره: خوراک دارای قیمت $\$/MJ^{-1}$ [۲۸]. |
| ۴۱ | شکل ۲-۱۵: فشار سنج و نمایشگر دیجیتال استفاده شده در آزمایش‌ها (محصول شرکت <i>BD SENSORS</i> کشور آلمان، مدل: ۰-۱۰۰ bar). محدوده عملکرد: ۲۶.۶۰۰ |

| | |
|--|----|
| شکل ۲-۳: دما سنج و نمایشگر دیجیتال مورد استفاده در آزمایش..... | ۴۲ |
| شکل ۳-۱: الکترموتور و اهرم ها برای حرکت سل..... | ۴۳ |
| شکل ۳-۲: حمام برای ثابت نگه داشتن دما..... | ۴۳ |
| شکل ۳-۳: کپسول گاز متان استفاده شده..... | ۴۳ |
| شکل ۳-۴: نمای کلی دستگاه..... | ۴۳ |
| شکل ۳-۵: بتاسیکلولدکسترین استفاده شده..... | ۴۴ |
| شکل ۳-۶: عکس SEM نانولوله‌ی کربنی چند جداره‌ی مورد استفاده..... | ۴۵ |
| شکل ۳-۷: عکس TEM نانولوله‌ی کربنی چند جداره‌ی مورد استفاده..... | ۴۵ |
| شکل ۳-۸: طیف رامان نانولوله‌ی کربنی چند جداره‌ی مورد استفاده..... | ۴۵ |
| شکل ۳-۹: نمودار X-ray نانولوله‌ی کربنی چند جداره‌ی مورد استفاده..... | ۴۵ |
| شکل ۳-۱۰: رآکتور مورد استفاده جهت تشکیل هیدرات متان..... | ۴۶ |
| شکل ۳-۱۱: سطح مقطع آب درون رآکتور..... | ۴۸ |
| شکل ۳-۱۲: سطح تماس آب-گاز در حالت اول..... | ۴۹ |
| شکل ۳-۱۳: برش افقی از رآکتور در حالت اول | ۵۱ |
| شکل ۳-۱۴: برش افقی از رآکتور در زاویه‌ی θ_{C1} | ۵۱ |
| شکل ۳-۱۵: سطح تماس آب-گاز در حالت دوم..... | ۵۲ |
| شکل ۳-۱۶: سطح تماس آب-گاز در حالت دوم..... | ۵۳ |
| شکل ۳-۱۷: برش افقی از رآکتور در زاویه‌ی θ_{C2} | ۵۴ |
| شکل ۳-۱۸: سطح تماس آب-گاز در حالت سوم..... | ۵۴ |
| شکل ۳-۱۹: برش افقی از رآکتور در حالت سوم..... | ۵۵ |
| شکل ۳-۲۰: سطح تماس آب-گاز در حالت سوم..... | ۵۵ |
| شکل ۳-۲۱: برش افقی از رآکتور در حالت سوم..... | ۵۵ |
| شکل ۳-۲۲: سطح تماس آب-گاز نسبت به θ ; خطچین های قرمز نشانده‌نده مقدادیر محاسبه شده و خط توپر آبی نشانده‌نده رابطه‌ی گوسین تقریب زده شده برای سطح تماس آب-گاز می‌باشد..... | ۵۵ |
| شکل ۴-۱: نمودار $P-t$ برای انحلال متان در نه محلول باغلظت‌های مختلف، در دمای $1^{\circ}C$ و فشار اولیه 3 bar | ۶۰ |
| شکل ۴-۲: نمودار $P-t$ برای انحلال متان در نه محلول باغلظت‌های مختلف، در دمای $1^{\circ}C$ و فشار اولیه 5 bar | ۶۱ |
| شکل ۴-۳: نمودار $P-t$ برای انحلال متان در نه محلول باغلظت‌های مختلف، در دمای $3^{\circ}C$ و فشار اولیه 3 bar | ۶۲ |
| شکل ۴-۴: نمودار $P-t$ برای انحلال متان در نه محلول باغلظت‌های مختلف، در دمای $3^{\circ}C$ و فشار اولیه 5 bar | ۶۳ |
| شکل ۴-۵: نمودار $P-t$ برای انحلال متان در نه محلول باغلظت‌های مختلف، در دمای $5^{\circ}C$ و فشار اولیه 3 bar | ۶۴ |
| شکل ۴-۶: نمودار $P-t$ برای انحلال متان در نه محلول باغلظت‌های مختلف، در دمای $5^{\circ}C$ و فشار اولیه 5 bar | ۶۵ |
| شکل ۴-۷: نمودار $P-t$ برای انحلال متان در نه محلول باغلظت‌های مختلف، در دمای $10^{\circ}C$ و فشار اولیه 3 bar | ۶۶ |
| شکل ۴-۸: نمودار $P-t$ برای انحلال متان در نه محلول باغلظت‌های مختلف، در دمای $10^{\circ}C$ و فشار اولیه 5 bar | ۶۷ |

- ۹۴ شکل ۳۷-۴: نمودار $P-T-t$ برای محلول ۰/۵٪ از CD در فشار اولیه‌ی 5 bar
- ۹۴ شکل ۳۸-۴: نمودار $P-T-t$ برای محلول ۰/۵٪ از CD در فشار اولیه‌ی 3 bar
- ۹۵ شکل ۳۹-۴: نمودار $P-T-t$ برای محلول ۱٪ از CD در فشار اولیه‌ی 5 bar
- ۹۵ شکل ۴۰-۴: نمودار $P-T-t$ برای محلول ۱٪ از CD در فشار اولیه‌ی 3 bar
- ۹۵ شکل ۴۱-۴: نمودار $P-T-t$ برای محلول ۰/۱٪ از SDS در فشار اولیه‌ی 5 bar
- ۹۵ شکل ۴۲-۴: نمودار $P-T-t$ برای محلول ۰/۱٪ از SDS در فشار اولیه‌ی 3 bar
- ۹۶ شکل ۴۳-۴: نمودار $P-T-t$ برای محلول ۰/۱٪ از SDS و ۰/۰۲٪ از NT در فشار اولیه‌ی 5 bar
- ۹۶ شکل ۴۴-۴: نمودار $P-T-t$ برای محلول ۰/۱٪ از SDS و ۰/۰۲٪ از NT در فشار اولیه‌ی 3 bar
- ۹۶ شکل ۴۵-۴: نمودار $P-T-t$ برای محلول ۰/۱٪ از SDS و ۰/۰۵٪ از NT در فشار اولیه‌ی 5 bar
- ۹۶ شکل ۴۶-۴: نمودار $P-T-t$ برای محلول ۰/۱٪ از SDS و ۰/۰۵٪ از NT در فشار اولیه‌ی 3 bar
- ۹۷ شکل ۴۷-۴: نمودار $P-T-t$ برای محلول ۰/۵٪ از CD ، ۰/۱٪ از SDS و ۰/۰۲٪ از NT در فشار اولیه‌ی 5 bar
- ۹۷ شکل ۴۸-۴: نمودار $P-T-t$ برای محلول ۰/۵٪ از CD ، ۰/۱٪ از SDS و ۰/۰۲٪ از NT در فشار اولیه‌ی 3 bar
- ۹۷ شکل ۴۹-۴: نمودار $P-T-t$ برای محلول ۰/۵٪ از CD ، ۰/۱٪ از SDS و ۰/۰۵٪ از NT در فشار اولیه‌ی 5 bar
- ۹۷ شکل ۵۰-۴: نمودار $P-T-t$ برای محلول ۰/۵٪ از CD ، ۰/۱٪ از SDS و ۰/۰۵٪ از NT در فشار اولیه‌ی 3 bar
- ۹۸ شکل ۵۱-۴: نمودار $P-T-t$ برای محلول ۱٪ از CD ، ۰/۱٪ از SDS و ۰/۰۵٪ از NT در فشار اولیه‌ی 5 bar
- ۹۸ شکل ۵۲-۴: نمودار $P-T-t$ برای محلول ۱٪ از CD ، ۰/۱٪ از SDS و ۰/۰۵٪ از NT در فشار اولیه‌ی 3 bar
- ۹۹ شکل ۵۳-۴: نمودار $k-T-P$ برای آب خالص در فشار اولیه‌ی 5 bar
- ۹۹ شکل ۵۴-۴: نمودار $k-T-P$ برای آب خالص در فشار اولیه‌ی 3 bar
- ۹۹ شکل ۵۵-۴: نمودار $k-T-P$ برای محلول ۰/۵٪ از CD در فشار اولیه‌ی 5 bar
- ۹۹ شکل ۵۶-۴: نمودار $k-T-P$ برای محلول ۰/۵٪ از CD در فشار اولیه‌ی 3 bar
- ۱۰۰ شکل ۵۷-۴: نمودار $k-T-P$ برای محلول ۱٪ از CD در فشار اولیه‌ی 5 bar
- ۱۰۰ شکل ۵۸-۴: نمودار $k-T-P$ برای محلول ۱٪ از CD در فشار اولیه‌ی 3 bar
- ۱۰۰ شکل ۵۹-۴: نمودار $k-T-P$ برای محلول ۰/۱٪ از SDS در فشار اولیه‌ی 5 bar
- ۱۰۰ شکل ۶۰-۴: نمودار $k-T-P$ برای محلول ۰/۱٪ از SDS در فشار اولیه‌ی 3 bar
- ۱۰۱ شکل ۶۱-۴: نمودار $k-T-P$ برای محلول ۰/۱٪ از SDS و ۰/۰۲٪ از NT در فشار اولیه‌ی 5 bar
- ۱۰۱ شکل ۶۲-۴: نمودار $k-T-P$ برای محلول ۰/۱٪ از SDS و ۰/۰۲٪ از NT در فشار اولیه‌ی 3 bar
- ۱۰۱ شکل ۶۳-۴: نمودار $k-T-P$ برای محلول ۰/۱٪ از SDS و ۰/۰۵٪ از NT در فشار اولیه‌ی 5 bar
- ۱۰۱ شکل ۶۴-۴: نمودار $k-T-P$ برای محلول ۰/۱٪ از SDS و ۰/۰۵٪ از NT در فشار اولیه‌ی 3 bar
- ۱۰۲ شکل ۶۵-۴: نمودار $k-T-P$ برای محلول ۰/۵٪ از CD ، ۰/۱٪ از SDS و ۰/۰۲٪ از NT در فشار اولیه‌ی 5 bar

فهرست جدول‌ها

| عنوان | صفحه |
|--|------|
| جدول ۱-۲: خواص فیزیکی سیکلودکسترین ها [۱۲] | ۱۹ |
| جدول ۲-۲: خواص دیگری از سیکلودکسترین ها [۱۳] | ۲۰ |
| جدول ۲-۳: حلالیت سیکلودکسترین ها در آب در دماهای مختلف [۲۲] | ۲۱ |
| جدول ۲-۴: ترکیب گاز طبیعی برای سه منطقه‌ی گازی دنیا بر حسب جزء مولی [۳۵] | ۳۵ |
| جدول ۲-۵: زنجیره‌ی هزینه‌ی تولید LNG [۷] | ۳۶ |
| جدول ۲-۶: هزینه‌ی محصول LNG در عسلویه برای تحویل در بعضی از بازارهای گازی دنیا [۳۵] | ۳۶ |
| جدول ۲-۷: شرایط عملیاتی و بعضی از متغیرهای طراحی برای فرآیند پیشنهادی تولید NGH [۱] | ۳۸ |
| جدول ۲-۸: کل هزینه‌ی محصول NGH برای صدور از عسلویه به بعضی از بازارهای گازی دنیا [۱] | ۳۸ |
| جدول ۱-۳: غلظت (درصد وزنی) محلول‌های استفاده شده برای جذب متان | ۴۶ |
| جدول ۱-۴: درصد افزایش انحلال متان در محلولهای ۲ تا ۹ نسبت به آب خالص در دماهای هشتگانه و فشار اولیه‌ی ۳ بار مطابق با رابطه‌ی (۱-۴) | ۷۵ |
| جدول ۱-۴: درصد افزایش انحلال متان در محلولهای ۲ تا ۹ نسبت به آب خالص در دماهای هشتگانه و فشار اولیه‌ی ۵ بار مطابق با رابطه‌ی (۱-۴) | ۷۵ |

نمادها

| | |
|-----------|--|
| \bar{A} | سطح تماس محلول- متان درون سل |
| C | میانگین سطح تماس محلول- متان در سل |
| C_e | غلظت متان در محلول در هر لحظه |
| k | غلظت تعادلی متان در محلول |
| n | ضریب انتقال جرم متان در هر محلول |
| P | تعداد مول‌های گاز متان در فاز گازی درون سل |
| P_e | فشار گاز متان درون سل |
| R | فشار تعادلی گاز متان درون سل |
| T | ثابت جهانی گازها |
| V | دماهی سیستم |
| Z | حجم گاز درون سل |
| | ضریب تراکم‌پذیری گز متان |

فصل ١

مقدمة

۱- مقدمه

گاز طبیعی که مهم ترین و بیشترین ماده تشکیل دهنده آن متان می باشد، یکی از مهم ترین منابع انرژی و همچنین مواد اولیه شیمیایی می باشد. مصرف جهانی گاز طبیعی به سرعت در حال افزایش است. با این وجود بازارهای جهانی گاز دور از ذخایر گازی می باشند. تکنولوژی‌های زیادی برای انتقال گاز طبیعی از مناطق تولیدی به دست مصرف کنندگان در هر نقطه دنیا وجود دارد [۱] که یکی از آن ها تبدیل گاز طبیعی به جامد^۱ (*GtS*), به عنوان مثال هیدرات گاز طبیعی^۲ (*NGH*), می باشد [۲]. از طرفی یکی از شرایط تشکیل هیدرات وجود آب می باشد [۳]. بنابراین بررسی جذب گاز طبیعی و به طور خاص گاز متان در آب اهمیت فراوانی دارد.

جذب گازها توسط آب برای تشکیل هیدرات ها در کارهای تئوری و آزمایشگاهی زیادی بررسی شده است. گاز طبیعی که بیش از ۹۰ درصد آن متان می باشد، یکی از مهم ترین و پاکیزه ترین منابع سوختی موجود، می باشد و در طبیعت هم به شکل گازی وجود دارد و هم به شکل هیدرات. متان همچنین به عنوان یک ماده اولیه برای تولید کردن بسیاری از مواد مهم، استفاده می شود. از طرفی با توجه به این که منابع مهم گازی در نقاط خاصی از دنیا قرار گرفته‌اند، بسیاری از کشورها نیاز به وارد کردن این گاز دارند. بنابراین یافتن روشی کم هزینه و اقتصادی برای صدور گاز الزامی به نظر می رسد.

۲- ماهیت گاز طبیعی

گاز طبیعی به طور عمده از متان، که ساده ترین هیدروکربن می باشد، و هیدروکربن های ساده تر و پیچیده تری چون اتان، پروپان و بوتان تشکیل شده است. گاز معروفی که در منازل، محل های کسب و کار و بخش های صنعتی استفاده می شود، در اصل متان خالص است که گازی بی رنگ و بی بو است و با شعله ای نسبتاً روشن می سوزد (بویی که هنگام استفاده از گاز طبیعی به مشام می رسد، به آن افزوده شده است).

¹ Gas to solid

² Natural gas hydrate

گاز طبیعی تمیز سوزترین نوع سوخت فسیلی است زیرا هنگام سوختن فقط بخار آب و دی اکسید کربن تولید می کند. متان یک ماده خام اصلی برای ساخت حلالها و دیگر مواد شیمیایی آلی است. گاز طبیعی در فرآیندهای گوناگون و مختلف صنعتی کاربرد دارد. مشتریان صنعتی گاز نیز همانند مشتریان آن در بخش تجاری، از گاز برای گرم کردن و یا خنک کرن هوای کارخانه ها استفاده می کنند ولی در کوره های صنعتی، دیگر های بخار، سیستم های ذوب، خشک کننده ها و سایر تجهیزات صنعتی نیز گاز بسیار زیادی مصرف می شود. به هر حال بسته به نبوغ مهندسان و دست اندرکاران بخش تولیدات صنعتی، کاربرد صنعتی گاز طبیعی افزایش یافته است [۴].

۳-۱- متان

متان که گاز مرداب نیز نامیده می شود، گازی بی رنگ و بی بو می باشد که در طبیعت به وفور یافت می شود. متان یکی از اجزای اصلی گاز طبیعی است که در معادن زغال سنگ نیز یافت می شود. همچنین از تجزیه باکتری های بی هوای موجود در گیاهان زیر آب، متان به دست می آید (به همین دلیل به آن گاز مرداب می گویند). در حالت صنعتی، از تقطیر تخریبی زغال سنگ معمولی در کارخانه گاز زغال سنگ و گاز کوره زغالی نیز می توان متان به دست آورد. تجزیه لجن توسط باکتری های بی هوای در فرآیندهای تصفیه فاضلاب، گازی غنی از متان تولید می کند.

متان ساده ترین عضو از هیدروکربن های پارافینی می باشد. فرمول شیمیایی آن CH_4 است و سبک تر از هوا است. چگالی آن در شرایط معمولی kg/m^3 ۰/۵۵۴ می باشد. متان به مقدار اندکی در آب حل می شود؛ به آسانی در هوا آتش می گیرد و دی اکسید کربن و آب تولید می کند. نقطه ی جوش متان ۱۶۲- درجه سانتیگراد (۲۵۹/۶- درجه فارنهایت) و نقطه ذوبش ${}^{\circ}C$ -۱۸۲/۵ - (${}^{\circ}F$ -۲۹۶/۵) می باشد. متان در حالت کلی بسیار پایدار است اما ترکیبات متان و هوا که شامل ۵ تا ۱۴ درصد حجمی متان است، قابل احتراق می باشد. احتراق چنین ترکیباتی به طور مکرر در معادن زغال سنگ باعث به وجود آمدن بسیاری از فجایع معدنی می شوند.

منبع اصلی متان گاز طبیعی می باشد که بسته به نوع منبع شامل ۵۰ تا ۹۰ درصد متان می باشد. تولید متان از طریق تقطیر تخریبی زغال سنگ و همچنین کربن دار کردن زغال سنگ در مکان هایی که گاز طبیعی فراوان نیست، مهم می باشد.

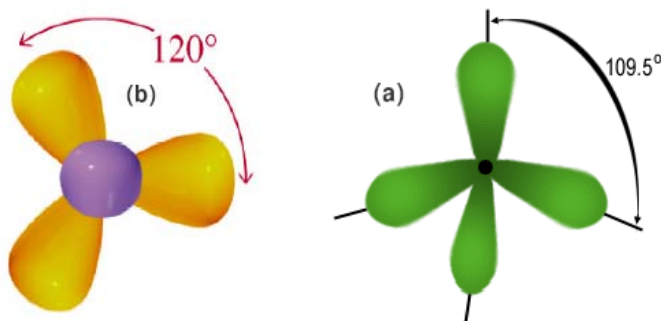
از آن جایی که گاز طبیعی تجاری از مقدار زیادی متان تشکیل شده است، شاید استفاده از آن برای تمام مقاصد عملی مشخص باشد. به خاطر فراوانی، ارزان بودن، سهولت حمل و نقل و پاکی، این گاز به عنوان سوخت در منازل، تأسیسات تجاری و کارخانه ها استفاده می شود.

متان یکی از مهم ترین منابع هیدروژن و بعضی مواد شیمیایی آلی می باشد و در دماهای بالا با بخار آب واکنش می دهد و مونوکسید کربن و هیدروژن تولید می کند. از این گاز در کارخانه تولید آمونیاک برای تهیه کود شیمیایی و مواد منفجره استفاده می شود. از دیگر مشتقات شیمیایی با ارزش متان، متانول، کلروفرم، تتراکلرید کربن و نیترو متان می باشند. احتراق ناقص متان باعث تولید کربن سیاه می شود که به طور وسیعی در لاستیک های تایر اتومبیل به عنوان یک عامل تقویتی استفاده می شود [۵].

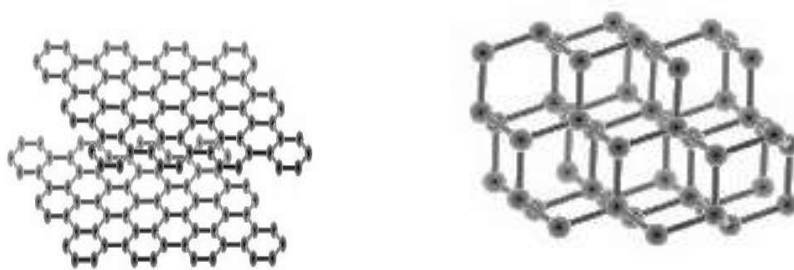
۴-۱- نانو لوله‌ی کربنی

کربن یکی از فراوان ترین عناصر تشکیل دهنده جهان پیرامون ماست. تا سال ۱۹۸۵ تنها مواد ساختاری شناخته شده از کربن عبارت بودند از گرافیت و الماس. تفاوت بسیار شدید در خواص این دو ماده، ناشی از تفاوت در نوع پیوند اتم های کربن در آن ها می باشد. اتم های کربن در الماس با هیبرید SP^3 به یکدیگر متصل شده اند و لذا هر اتم کربن با چهار اتم دیگر در ارتباط است. اما هیبرید اتم های کربن در ساختار گرافیت بصورت SP^2 بوده و هر کربن با سه اتم کربن دیگر در ارتباط است. شکل هیبریدی پیوند های اتمی الماس و گرافیت در شکل ۱-۱ رسم شده اند.

اتم های کربن در ساختار گرافیت بصورت ورقه هایی روی یکدیگر قرار دارند و عدم وجود پیوند بین این ورقه ها موجب لغزنده گی آن ها نسبت به یکدیگر می گردد. ساختارهای الماس و گرافیت در شکل های ۱-۲ و ۱-۳ نشان داده شده اند.



شکل ۱-۱: پیوندهای اتمی در (a) الماس ، (b) گرافیت [۶]



شکل ۱-۲: ساختار اتمهای کربن در الماس [۶] شکل ۱-۳: ساختار اتمهای کربن در گرافیت [۶]

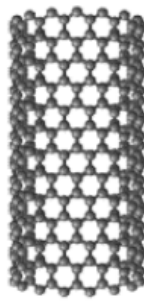
در سال ۱۹۸۵ ساختارهای جدیدی از کربن با نام باکی بال کشف شد [۷]. اتمهای کربن در این ساختارها به صورت پنج و شش ضلعی به شکل های توپ مانند در می آیند. معروف ترین این ساختارها مولکول C_{60} است که حاوی ۶۰ اتم کربن می باشد. نوع هیبرید اتمها در این ساختارها نیز بصورت SP^2 می باشد. شکل ۱-۴ نمونه ای از این ساختارها را نشان می دهد [۸].

در سال ۱۹۹۱ پروفسور ایجیما متوجه ساختارهای جدیدی شد که فرم کشیده شده مولکول های فولرین بودند [۹]. این ساختارهای جدید با نام نانولوله های کربنی شناخته شدند.

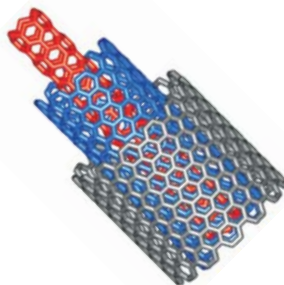
نانولوله های کربنی به دو گروه تکدیواره (SWNT) و نانولوله های چنددیواره (MWNT) تقسیم می شوند. انواع تکدیواره، حاصل رول شدن یک ورقه گرافیت بوده، چنددیواره ها به صورت لوله های تودر تو از انواع تکدیواره می باشند. شکل های ۱-۵ و ۱-۶ تصاویری از این ساختارها را نشان می دهند.



شکل ۱-۴: ساختار مولکولی فولرین [۸]



شکل ۱-۶: نanolوله‌کربنی تک دیواره [۱۰]



شکل ۱-۵: نanolوله‌کربنی چند دیواره [۱۰]

علت علاقه به نanolوله‌های کربنی تکدیواره و تلاش برای جایگزین کردن آنها در صنعت براساس محاسبات تئوری و تأییدات آزمایشگاهی بر خصوصیات عالی مکانیکی و رسانایی الکتریکی آنها مانند فلزات می‌باشد.

در دسترس و تجاری بودن نanolوله‌های کربنی چنددیواره باعث شده است که پیشرفت‌های بیشتری در این زمینه داشته باشیم. تاحدی که محصولاتی در آستانه تجارتی شدن تولید شده است. به عنوان مثال از نanolوله‌های کربنی چنددیواره به عنوان جایگزین *Carbon-black* در پودرهای رنگ استفاده شده است. یکی از معایب نanolوله‌های چنددیواره نسبت به تکدیواره این است که استحکام‌دهی آنها کمتر می‌باشد زیرا پیوندهای صفحات داخلی ضعیف می‌باشند. در حال حاضر علت استفاده از نanolوله‌ها در پلیمرها بهبود خواص گرمایی و الکتریکی می‌باشد نه بهبود خواص مکانیکی آنها. بنابراین کاربرد نanolوله‌های کربنی چنددیواره بسیار زیاد می‌باشد.